

II-68 河口附近の波の変形について

○ 名古屋大学 工学部 正員 横木 亨
名古屋大学 工学部 正員 庄野 博文

1. 緒言

著者らは昨年の年次講演会において河口付近の海岸線に沿う碎波の特性を明らかにした。本研究はその継続研究であつて、浅海波領域における波の特性に及ぼす流れの影響を明らかにして、河川流出土砂及び海岸沿岸漂砂の河口付近での沈没とともに河口閉塞機構の基礎資料を得るとともに、河口堤防の有効高さ決定のための資料を明らかにしようとしたものである。すなわち、流れの波高変化に及ぼす影響に関しては、微少振幅理論を用いてエネルギー保存則から求めた理論結果と実験結果とを比較検討し、ついで波速の流れにともなう変化によって生じる河口中心部の集中現象を説明した。さらにこれらを議論をおこすために必要な河口部よりの波の拡散現象については、流速分布を精測し、従来のAlbertsonらの結果と比較検討した。

2. 河口流出水の拡散

著者らは河口からの流出水の拡散を明らかにするため、 $1/1000$ の勾配をもつ河川部と $1/15$ 勾配をもつ海岸部とからなる河口模型で、河口の水深を 5 cm 保持して河川流量を $2 \sim 5 \text{ l/sec}$ (河口の流速 $0.25 \sim 0.65 \text{ m/sec}$) に変化させて、各地点での流速分布を調べた。この河口から流出する流れの流速分布に関してはAlbertsonらの二次元模型の実験結果があるが、著者らの実験結果はAlbertsonの結果に比べて河口中心線のみが大きい峻しい曲線を示している。さらにその最大流速の沖方向にかかる減衰状況は、図-1を示すようであつて、その傾向はAlbertsonの結果によく似ているが、 V_{max}/V_0 の値はややあらわれている。図中の V_0 は河口の流速 V は河口から沖方向に測った距離、 B_0 は河口幅である。この著者らの実験結果とAlbertsonの結果の相違は後者が $V_0 = 1.2 \text{ m/sec} \sim 5.4 \text{ m/sec}$ といひ高流速に対し、著者らの実験値は $V_0 = 0.25 \sim 0.65 \text{ m/sec}$ といひ低流速のため粘性の効果が著しいのではないかと思われる。なお垂直方向の流速分布も計測したが、測定実験によって拡散様式に近い形から、一様分布よりには流れが静水中に潜るような形をとつていく。以下の論議での流速は V_0 を採用する。

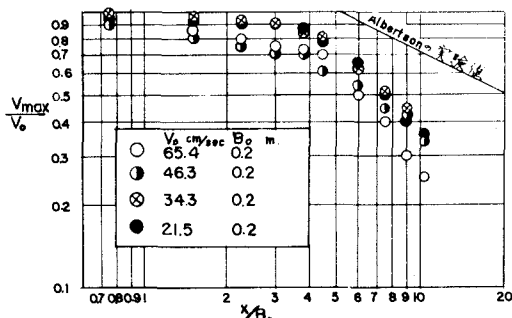


図-1. V_{max} の距離による変化

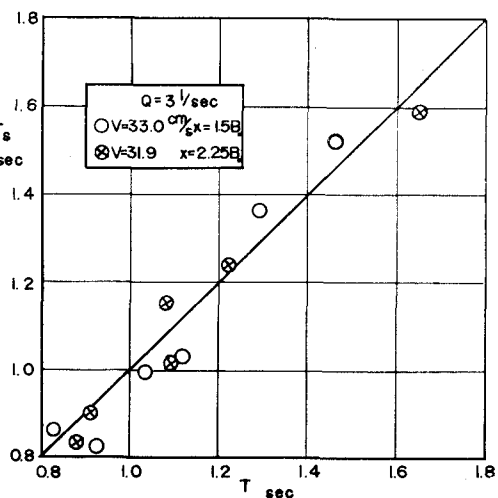


図-2. 流れのある場合とない場合の周期の関係

3. 流れにともなう波浪特性の変化

流速 V の流れの存在している場合でも波が浅海波の性質を有するものと仮定し、静水中の任意水深 C_s における波速を C_s 、流れのある場合の水深 C における波速を C とすると、図-2 で示すように静水中の波の周期 T_s は流れのある場合の周期 T と等しいことから、

$$T = L_s/C_s = L/(C+V) \quad (1)$$

となる。ここで L は波長、添字 s は流れのない場合を示す。

(1) 式に微少振幅理論を用いると(2)式が得られる

$$\frac{C}{C_s} = \frac{Y}{2X} \left[1 + \sqrt{1 + 4 \frac{V}{C_s} \frac{X}{Y}} \right] \quad (2)$$

ここで $X = \tanh 2\pi h/L_s$, $Y = \tanh 2\pi h/L$ で X は底部の損失を無視すれば h/L_s (L_s : 波浪の波長) の関数であり、 Y は(1)式で用いること

$$\tanh 2\pi h/L = \tanh \left[\frac{2\pi h}{L_s} \cdot \left(\frac{C_s}{C} + \frac{V}{C_s} \right)^{-1} \right] \quad (3)$$

と変形できるから(2), (3)式から C/C_s は V/C_s 及び h/L_s の実数でありわざることができる。図-3 はその関係を求めるものである。

つぎに流水中の波のエネルギーの伝達速度 G_g を Li-Yuan と同様に波の群速度 C_g と V の和とする。エネルギーの保存則を適用すると、

$$H_s^2 C_g = H^2 (C_g + V) \quad (4)$$

$$H_s = \sqrt{\frac{n_s}{\frac{1}{2} \left[1 + \frac{40h/L_s \cdot (C_s + C_g)^{-1}}{\sinh 4\pi h/L_s} \right] C_s + \frac{V}{C_s}}} \quad (5)$$

でありわざることができ。 $n_s = \frac{1}{2} \left(1 + \frac{4\pi h}{L_s} / \sinh \frac{4\pi h}{L_s} \right)$

(5)式の関係は図-3 を用いると図-4 のようになる。図-5 は(5)式で求めた計算値と実験値の比較した一例であつて、この図から実験値は大きめの値を取る傾向は計算値とよく似ていることがわかる。しかし一般に実験が低くあらわれてゐるのは、 C_s が求めたのに微少振幅波として求めた結果 C_s が過少な値を取るためにと思われる。

一方 $H/L_s = 0.03$ 及び 0.05 の波はすでに碎波した後の波高変化も含んでいる。本論文は文部省科学研究所の一報で行なわれたことを最後に付記しておき

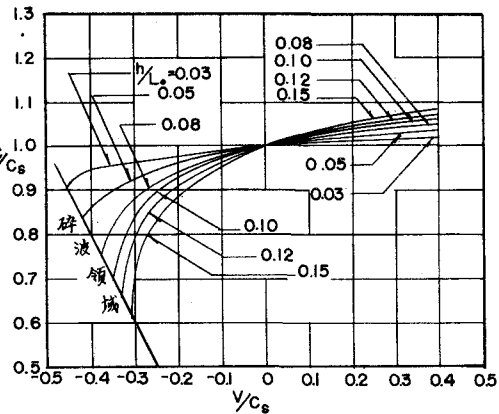


図-3. 流速及び水深変化による波長の変化

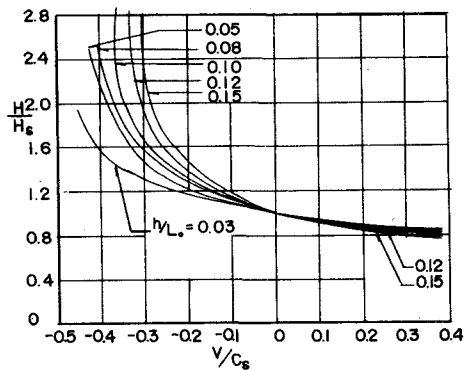


図-4. 流速及び水深変化による波高の変化

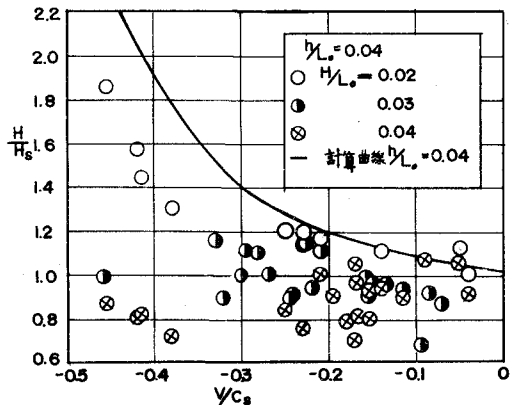


図-5. 波高変化に関する実験値・計算値の比較